

特異性の伝播と初期値問題の一意性

東大 理 中根静男

§1. 序

Treves [13]は、初期面が2重特性的な点を含むとき、初期値問題の解の一意性について、次の結果を得た。ここで、 $P(x,D) = D_1^2 - x_1^2 D_2^2 - c D_2$, $D_i = \frac{\partial}{\partial x_i}$ ($i=1,2$) とおく。(cは実数 $x_1 - x_2$)

定理 1.1 cは正の奇数でないとする。

$\Omega \subset \mathbb{R}^2$ を開集合、Fを Ω の開集合で、

$x_2 \geq 0$ との交わり Kはコンパクトに

なるものとすると、cのみに依る整

数 m(≥ 2) と Kの近傍 Uがあり、

$Pu = 0$, $\text{supp } u \subset F$ をみたす任意の $u \in C^m(\Omega)$ は Uで消える。

定理 1.2 cは正の奇数とすると、 $Pu = 0$, $\text{supp } u = \left\{ x_2 \leq \frac{x_1^2}{2} \right\}$ をみたす C^∞ 開函数 uが存在する。

そして、Birkeland and Persson [2] は、定理 1.1 を $u \in \mathcal{D}'(\Omega)$ の場合に拡張した。一意性が低階に依るところが面白い。この論文では、主に定理 1.1 を $u \in \mathcal{B}(\Omega)$ つまり、uが "hyperfunction"

の場合まで拡張することを目標にする。

考える operator も拡張して、 \mathbb{R}^2 で

$$(1.1) \quad Q(x, D) = (D_1 + ax_1^k D_2)(D_1 + bx_1^k D_2) - cx_1^{k-1} D_2$$

を考える。ここで $a, b \in \mathbb{R}$, $a < b$, $c \in \mathbb{C}$, $k \in \mathbb{N}$ である。 Q は x_1 方向には双曲型であることに注意する。原点を通る Q の特性曲線は $x_2 = \frac{s}{k+1} x_1^{k+1}$ ($s=a, b$) である。初期面として $x_2 = f(x_1)$, f は C^1 級で $f(0) = f'(0) = 0$ をとると原点で Q に関して 2 重特性的になる。(実は f は C^0 級でよい。) 以下、原点の近傍で考える。問題は、

$$(1.2) \quad \left. \begin{array}{l} u \in \mathcal{B}(Q) \\ Q(x, D)u = 0 \\ \text{supp } u \subset \{x_2 \leq f(x_1)\} \end{array} \right\} \Rightarrow u = 0 \text{ near } (0, 0)$$

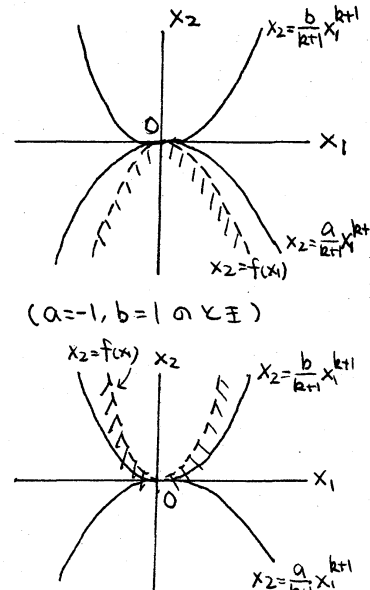
が成り立つか否かである。

Case 1. $f(x_1) < \min_{s=a, b} \frac{s}{k+1} x_1^{k+1}$ のとき。

任意の C に対して、(1.2) は成り立つ。
これは、原点の俠存領域で $u = 0$ であることから従う。

Case 2. $f(x_1) \geq \max_{s=a, b} \frac{s}{k+1} x_1^{k+1}$ のとき。

どんな C に対して (1.2) は成り立たない。実際、[2] は $Pu = 0$, $\text{supp } u \subset \{x_2 \leq \max_{s=a, b} \frac{s}{k+1} x_1^{k+1}\}$, $\text{supp } u \ni (0, 0)$ を示す。



C^∞ 解を原点の近くで構成した。

以上は、一意性が低階に依る場合である。そこで、以下、

Case 3. $\min_{s=a,b} \frac{s}{k+1} x_1^{k+1} \leq f(x_1) < \max_{s=a,b} \frac{s}{k+1} x_1^{k+1} \quad (x_1 \neq 0)$ の場合を考える。この場合には次の結果を得る。

定理 1.3 k が奇数のとき、 $C \neq (b-a)\{(n+1)(k+1)-m\}$, ($n=0, 1, 2, \dots, m=0, 1$) なら、(1.2) が成り立つ。

定理 1.4 k が奇数のとき、 $C = (b-a)\{(n+1)(k+1)-m\}$, ($"$) なら、 $Qu = 0$, $\text{supp } u = \{x_2 \leq \frac{a}{k+1} x_1^{k+1}\}$ を満たす $u \in C^\infty(\mathbb{R}^2)$ が存在する。

定理 1.5 k が偶数のとき、 $C \neq (b-a)\{n(k+1)-\frac{1}{2}\}$, ($n \in \mathbb{Z}$) なら (1.2) が成り立つ。

定理 1.6 k が偶数のとき、 $C = (b-a)\{n(k+1)-\frac{1}{2}\}$, ($n \in \mathbb{Z}$) なら、 $Qu = 0$, $\text{supp } u = \{x_2 \leq \min_{s=a,b} \frac{s}{k+1} x_1^{k+1}\}$ を満たす $u \in C^\infty(\mathbb{R}^2)$ が存在する。

[3]では Carleman の L^2 評価を用いたが、hyperfunction では Carleman の方法（これは元来、 C^∞ 係數の微分方程式の Cauchy 位題の解の一意性の証明に使うものであつた！）は使えそうもない、我々の証明の発想は Holmgren の定理にある。Hörmander [6] の第 5 章で、初期面が単純特性的な実を含むとき、その実を陪特性曲線が初期面とどのように接するかによって一意性が成り立つたり成り立たないことを Holmgren の定理を使って

述べている。つまり、右図で初期面

$\varphi(x) = 0$ は x_0 で単純特性的とすると、



(1) のようには陪特性曲線が $x \neq x_0$ で $\varphi(x) > 0$

に入っている場合は一意性は成立立つ。(2)



即ち、 $\exists u = 0, \text{supp } u \subset \{\varphi(x) \leq 0\}$ なら $u = 0$ near x_0 が従う。しかし、

(2) のようには $\varphi(x) \leq 0$ を含む場合には一意性は崩れる。

単純特性的なら、特異性の伝播は1本道だからよいが、多重

特性的の場合、その上で特異性が分歧するので、陪特性曲線

の幾何的性質だけではなく、実際に特異性が分歧するかどうか

という、精密な議論が必要になる。ここで低階が効いてくる

のである。ただ Case 1 と Case 2 の場合は、各々 (1) と (2) に対応

しているので一意性は低階に依らない。 $k=1, a=-1, b=1$ のとき、

我々の定理は [3] の拡張になっている。我々の立場では、

定理 1.1 の F に関する条件は大体 $f(x_1) < 0$ ($x_1 \neq 0$) であり、初期面の位置に関する条件をゆるめられる。[3] では Carleman の評価を使う際に技術的にこのような条件を説く必要があると思われる。尚、我々の証明では、解の support の伝播もやがてこしまうので、Holmgren の定理を使う必要がないことを付記しておく。
実際には。

3.2 解の特異性の伝播について

(1.1) の type n operator に対する distribution 解の wave front の伝播

に述べて、最近、Alinhac [1], Hanges [5], Taniguchi-Tozaki [12] 等が調べられている。以下、(1.1) の hyperfunction 解の singular spectrum (分布とかく。 δ -distribution or analytic wave front に当たる) の伝播 (=) について述べる。すると主な結果に符号する結果が出来くなる。

以下に述べる結果は [1], [5], [12] の結果と同じで、hyperfunction で考えても違いが出てこない。これは、恐らく (1.1) が x_1 方向に distribution well-posed な hyperbolic op. であるためだろう。実際、以下の議論に現れる基本的な解 E_j, E_s^\pm は全て distribution である。

尚、以下の議論は、[1] の hyperfunction 版である。

$E_j(x)$ ($j=0, 1$) を Cauchy 問題

$$(2.1) \quad \begin{cases} Qu = 0 \\ D_i^j u|_{x_1=0} = u_i(x_2) \end{cases}$$

の基本解系とする。 E_j は

$$(2.2) \quad QE_j = 0 \quad D_i^j E_j|_{x_1=0} = \delta_i^\infty \delta(x_2)$$

を満たす。すなは (2.1) の解 u は、

$$u(x) = \sum_{j=0,1} \int E_j(x_1, x_2 - y_2) u_j(y_2) dy_2$$

と書ける。次に "pure" な解 ($\pm x_1 > 0$) E_s^\pm ($s=a, b$) を

$$(2.3) \quad \begin{cases} QE_s^\pm = 0 \\ \text{supp } E_s^\pm \cap \{\pm x_1 > 0\} \subset \{x_2 \leq \frac{s}{k+1} x_1^{k+1}, \pm x_1 > 0\} \\ SS(E_s^\pm) \cap \{\pm x_1 > 0, \xi_2 > 0\} = (\text{bich. strip of } D_1 + s x_1^k D_2 \text{ through } (0, 0 : \sqrt{(0, 1)^\infty}))|_{\pm x_1 > 0} \quad (\xi_2 \text{ is } x_2 \text{ a dual variable}) \end{cases}$$

$$(2.4) \quad \begin{pmatrix} E_0 \\ E_1 \end{pmatrix} = \begin{pmatrix} C_{11}^{\pm} & C_{12}^{\pm} \\ C_{21}^{\pm} R(D_2) & C_{22}^{\pm} R(D_2) \end{pmatrix} \begin{pmatrix} E_a^{\pm} \\ E_b^{\pm} \end{pmatrix} \quad (\text{複号同順})$$

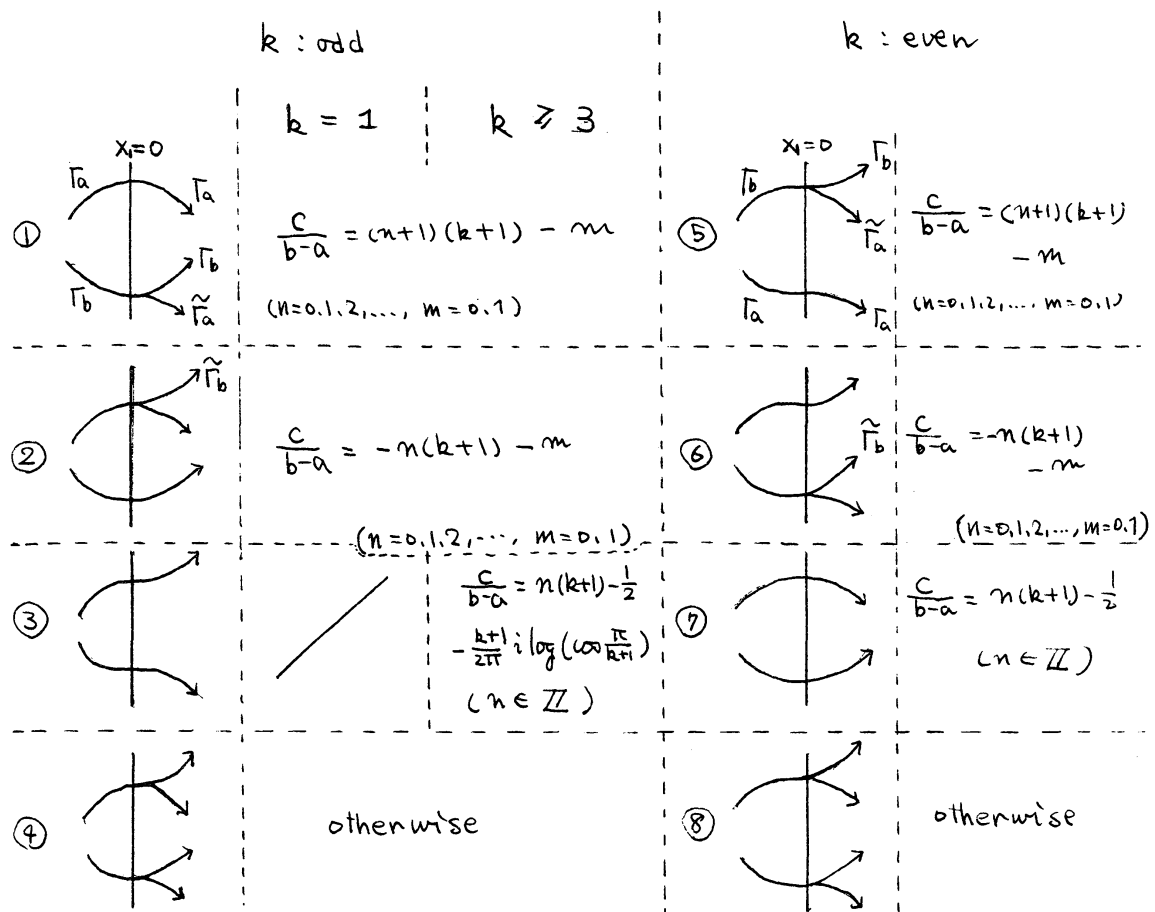
を満たすようにとる。 C_{ij}^{\pm} は a, b, c, k の ± 1 に依る定数。 $R(D_2)$
 は $\text{const} \times \{(x_2 + i\alpha)^{-1 + \frac{1}{k+1}} - (x_2 - i\alpha)^{-1 + \frac{1}{k+1}}\}$ a convolution op. "order" ($\frac{1}{k+1}$) の
 PDDP である。(2.1) の解 u は、

$$(2.5) \quad u(x) = \int E_a^{\pm}(x_1, x_2 - y_2) \{ C_{11}^{\pm} u_0(y_2) + C_{21}^{\pm} R(D_2) u_1(y_2) \} dy_2 \\ + \int E_b^{\pm}(x_1, x_2 - y_2) \{ C_{12}^{\pm} u_0(y_2) + C_{22}^{\pm} R(D_2) u_1(y_2) \} dy_2$$

と書ける。(2.3) より、第1項 (resp. 第2項) は、 $x_1 > 0, x_2 > 0$
 で初期値の特異性を $D_1 + a x_1^k D_2$ (resp. $D_1 + b x_1^k D_2$) a bich. strip
 のみに沿って伝えるものである。support は x_1 で同一の二
 とが言える。故に、解の特異性や舌の伝播を調べる上では、
 "pure" な解が本質的である。半空間で "pure" な解は、全空間
 で "pure" とは言えず、 $x_1 = 0$ で特異性が分歧する場合が出てく
 る。これは仕様の C が影響する。これを調べるには、 E_a^+, E_b^+
 を $x_1 < 0$ で E_a^-, E_b^- を用いて表わしてやればよい。

$$(2.6) \quad \begin{pmatrix} E_a^+ \\ E_b^+ \end{pmatrix} = \begin{pmatrix} g_{11} & g_{12} \\ g_{21} & g_{22} \end{pmatrix} \begin{pmatrix} E_a^- \\ E_b^- \end{pmatrix} \quad (x_1 < 0)$$

実は (2.6) は全空間で成り立つ。 g_{ij} は a, b, c, k に依る定数であり、 g_{ij} が消えるか否かで特異性の分歧が決まる。 g_{ij} は後で具体的に計算する。これから、一般の解の特異性の分歧も決まる。 $(g'_{ij}) = (g_{ij})^{-1}$ を計算すれば (実は、 $g'_{ij} = 0 \Leftrightarrow g_{ij} = 0$)、次表を得る。



ここで $\tilde{\Gamma}_S, \tilde{\Gamma}_{\bar{S}}$ は $D_1 + sx_i^k D_2$ の bich. strips, Γ_S は本来の、 $\tilde{\Gamma}_S$ は分歧した特異性の流れを示す。 $a=-1, b=1, c \in \mathbb{R}$ のときは [12] の結果と全く同じである。上は $\Im z > 0$ で考えたが、 $\Im z < 0$ では、 c を c の複素共役にすればよい。つまり、変わる所は ③ のみで、 s を $-s$ にすればよい。 $\Re s$ と $\Im s$ の場合とは特異性が分歧するといふよりは、乗りかわるといふ感じである。この“乗りかえ”は、 $k=1$ のときはおこらない。これは、 $k \geq 2$ のときは、 $2 \geq k$ の bich. strips が 2 重特異性まで離していけるのにに対し、 $k=1$ のときは直に交わっていいるためだと思われる。定理 1.3～1.6 と比べて

みると、一意性に関係するのは、①と⑦の場合である。次の Cauchy 問題を考えると主には、③と⑦が関係してくる。

$$(2.7) \quad \left. \begin{array}{l} u \in \mathcal{B}(\Omega) \\ Qu = 0 \\ \text{supp } u \subset \{x_2 > f(x_1)\} \end{array} \right\} \Rightarrow u = 0 \text{ near } (0,0)$$

不等号の向きに注意されたい。

§3. 前節の結果の証明

E_s^\pm の構成法は、かなり天下り的であるが、以下に示す。まず、 E_j ($j=0,1$) を構成する。そのためには、複素領域で次の特異 Cauchy 問題 (3.1) を解き、その解の実軸への境界値をとればよい。この方法は、単純特性のときには Kawai [9] が構成した方法をまとめたものである。

補題 3.1

$$(3.1) \quad \left. \begin{array}{l} Q(z, D) u_j(z) = 0 \\ D_i^{\bar{i}} u_j |_{z_1=0} = \sum_i j_i \cdot z_i^{-1} \quad (i, j = 0, 1) \end{array} \right\}$$

の解は、 $|Z/W_b'| < 1$ で

$$(3.2) \quad u_0(z) = W_b'^{-1} F(1, \gamma; 1-\delta; -Z/W_b'),$$

$$(3.3) \quad u_1(z) = z_1 \cdot W_b'^{-1} F(1, \gamma+\delta; 1+\delta; -Z/W_b'),$$

また、 $|Z/W_a'| < 1$ で。

$$(3.4) \quad u_0(z) = W_a'^{-1} F(1, 1-\gamma-\delta; 1-\delta; Z/W_a')$$

$$(3.5) \quad u_1(z) = z_1 \cdot W_a'^{-1} F(1, 1-\delta; 1+\delta; Z/W_a')$$

で表わされる。ここで、 F は超幾何函数、 $W_s' = z_2 - \frac{s}{k+1} z_1^{k+1}$,
 $Z = \frac{b-a}{k+1} z_1^{k+1}$, $\delta = \frac{1}{k+1}$, $\gamma = \frac{c}{(b-a)(k+1)}$ である。

この補題は、Chi Min You [3], 柏原・河合 [8], 清部 [14] 等で
計算されているもので、解を z_1 について Taylor 展開し、各係
数 (z_2 の函数) を逐次決めていけばよい。超幾何函数は、

$F(a, b; c; z) = \sum_{r=0}^{\infty} \frac{(a)_r (b)_r}{(c)_r r!} z^r$ で、元来、 $|z| < 1$ で収束する級数
だが、全平面に（一般には多価に）解析接続され、 $z = 0, 1,$
 ∞ に特異点をもつ。 $z = 0$ で正則な枝をとれば、 $z = 1, \infty$ に
対応する u_0, u_1 の特異点は、 $z_2 - \frac{s}{k+1} z_1^{k+1} = 0$ ($s = a, b$) で、こ
れは初期値の特異性が Q の特性曲線に沿って伝播することを
意味する。尚、補題 3.1 は、Hamada の定理 (cf. Hamada [4]) の
2 重特性的な場合の一例である。また、(3.2), (3.3) と (3.4), (3.5)
は、同じ Cauchy 問題 (3.1) の解であるから、Cauchy-Kowalevski
の定理から、その共通の定義域では一致する。つまり、互い
に他の解析接続になっている。

次に、 u_0, u_1 の境界値を、 $\pm \operatorname{Im}(z_2 - \frac{s}{k+1} z_1^{k+1}) > 0$ ($s = a, b$)
からとり、その差をとれば求める基本解が得られるが、その
前に、よく知られた超幾何函数の接続公式を用いて、解を全
空間 \mathbb{C}^2 に接続しておく。その際、一般には多価になるので、
適当な枝をとる。枝のとり方には注意を要し、せやすくする
ために、まず " $z_1 = x_1 \in \mathbb{R}$ としておいて、 x_1 を $\rho \alpha + \theta$ とみ

なして、 $\pm Im z_2 > 0$ から境界値をとる。 \mathbb{R} の記号を用いる。

$$X = \frac{b-a}{k+1} x_1^{k+1}, \quad W_s = z_2 - \frac{\gamma}{k+1} x_1^{k+1}, \quad Y = \mathbb{R}_{x_1} \times \mathbb{C}_{z_2}$$

$$U_s = \{(x_1, z_2) \in Y; |X/W_s| < 1\}$$

$$V_s = \{(x_1, z_2) \in Y; |X/W_s| > 1\}$$

$$V_s^\pm = \{(x_1, z_2) \in V_s; \pm x_1 > 0\}$$

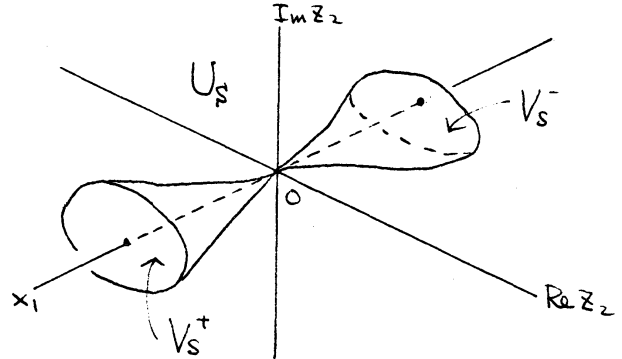
(3.2) & (3.3) は U_b で、

(3.4) & (3.5) は U_a で

正則である。

極としては原点で正則

なものとする。



さて、(3.3) を V_b に接続してみよう。尚、以下の議論で、ガウスの pole 等は、一切、島にする必要はない、うまく意味付けされるることは保証できる。

$$\begin{aligned} (3.6) \quad u_b(x_1, z_2) &= W_b^{-1} \left\{ \frac{-\delta}{\gamma-1} \cdot \frac{W_b}{X} F(1, 1+\delta; 2-\gamma; -W_b/X) \right. \\ &\quad \left. + \frac{\Gamma(1-\delta)\Gamma(1-\gamma)}{\Gamma(1-\gamma-\delta)} (W_b/X)^\gamma F(\gamma, \gamma+\delta; \gamma; -W_b/X) \right\} \\ &= \Gamma(1-\gamma) \left\{ \frac{\delta}{\Gamma(2-\gamma)} \cdot X^{-1} F(1, 1+\delta; 2-\gamma; -W_b/X) \right. \\ &\quad \left. + \frac{\Gamma(1-\delta)}{\Gamma(1-\gamma-\delta)} W_b^{-1} (W_b/X)^\gamma (W_b/X)^{-\gamma-\delta} \right\} \end{aligned}$$

ここで、 $F(a, b; a; z) = (1-z)^{-b}$ を用いた。また $(\cdot)^\gamma$ 等は主枝をとる。 $X > 0$, $Im z_2 > 0$ の時は、

$$(3.7) \quad (W_b/X)^\gamma (W_b/X)^{-\gamma-\delta} = \left(\frac{b-a}{k+1}\right) x_1 W_a^{-\gamma-\delta} W_b^\gamma,$$

$x_1 < 0, \operatorname{Im} z_2 > 0$ では、

$$(3.8) \quad \left(\frac{W_b}{x} \right)^{\delta} \left(\frac{W_a}{x} \right)^{-\gamma-\delta} = \begin{cases} -\left(\frac{b-a}{k+1}\right)^{\delta} x_1 W_a^{-\gamma-\delta} W_b^{\delta} & (k: \text{odd}) \\ -e^{\pi\delta i} \left(\frac{b-a}{k+1}\right)^{\delta} x_1 W_a^{-\gamma-\delta} W_b^{\delta} & (k: \text{even}) \end{cases}$$

$z_2 = z''$, V_b^{\pm} で、

$$(3.9) \quad u_a^{\pm}(x_1, z_2) = \frac{\delta}{\Gamma(2\gamma)} \cdot x^{-1} \cdot F(1, 1+\gamma; 2-\gamma; -W_b/x) \quad (\in V_b^{\pm})$$

と定義すると、 x_1 を固定してとき、 $u_a^{\pm}(x_1, z_2)$ は、 $z_2 = \frac{a}{k+1} x_1^{k+1}$, $\gamma \neq 0$ の特異。一方 $w(x_1, z_2) = \Gamma(1-\gamma) \left(\frac{b-a}{k+1}\right)^{\delta} x_1 W_a^{-\gamma-\delta} W_b^{\delta-1}$ は全平面 Γ に自然に（多値に）接続されるので、(3.6) から逆に u_a^{\pm} の U_b への接続

$$(3.10) \quad u_a^{\pm}(x_1, z_2) = \frac{u_0(x_1, z_2)}{\Gamma(1-\gamma)} - \frac{w(x_1, z_2)}{\Gamma(1-\gamma-\delta)}$$

$$(3.11) \quad u_a^{\pm}(x_1, z_2) = \begin{cases} \frac{u_0(x_1, z_2)}{\Gamma(1-\gamma)} + \frac{w(x_1, z_2)}{\Gamma(1-\gamma-\delta)} & (k: \text{odd}) \\ \frac{u_0(x_1, z_2)}{\Gamma(1-\gamma)} + e^{\pi\delta i} \frac{w(x_1, z_2)}{\Gamma(1-\gamma-\delta)} & (k: \text{even}) \end{cases}$$

が得られる。次に、(3.4) を V_a に拡張すると、同様にして、

$$(3.12) \quad u_0(x_1, z_2) = \Gamma(\gamma+\delta) \left\{ -\frac{\delta}{\Gamma(1+\gamma+\delta)} \cdot x^{-1} \cdot F(1, 1+\gamma; 1+\gamma+\delta; W_a/x) \right. \\ \left. + \frac{\Gamma(1-\delta)}{\Gamma(\gamma)} \cdot W_a^{-1} \cdot (-W_a/x)^{1-\gamma-\delta} (-W_b/x)^{\delta-1} \right\}$$

$z_2 = z''$, V_a^{\pm} で、

$$(3.13) \quad u_b^{\pm}(x_1, z_2) = -\frac{\delta}{\Gamma(1+\gamma+\delta)} \cdot x^{-1} \cdot F(1, 1+\gamma; 1+\gamma+\delta; W_a/x) \quad (\in V_a^{\pm})$$

と定義すると、 u_b^{\pm} は x_1 を fix してとき、 $z_2 = \frac{b}{k+1} x_1^{k+1}$, $\gamma \neq 0$ の特異。上と同様にして、 u_b^{\pm} も U_a に接続されて、

$$(3.14) \quad U_b^+(x_1, z_2) = -\frac{U_0(x_1, z_2)}{\Gamma(\gamma + \delta)} - e^{\pi\delta i} \cdot \frac{W(x_1, z_2)}{\Gamma(\gamma)}$$

$$(3.15) \quad U_b^-(x_1, z_2) = \begin{cases} \frac{U_0(x_1, z_2)}{\Gamma(\gamma + \delta)} + e^{\pi\delta i} \cdot \frac{W(x_1, z_2)}{\Gamma(\gamma)} & (k: \text{odd}) \\ \frac{U_0(x_1, z_2)}{\Gamma(\gamma + \delta)} + \frac{W(x_1, z_2)}{\Gamma(\gamma)} & (k: \text{even}) \end{cases},$$

ここで、直角、計算に+り次を得る。

補題 3.2 $\left\{ \begin{array}{l} Q(z, D) W(z) = 0 \\ Q(z, D) U_S^+(z) = 0 \end{array} \right.$

尚、(3.9) も U_a^+ と U_a^- は同じ形をしているが、定義 V_b^+ と V_b^- が $V_b^+ \cap V_b^- = \emptyset$ 故、上のように枝を指定して接続したとき、互いにつながるとは限らないことに注意しておく。上の関係式から U_S^+ は今まで接続されて

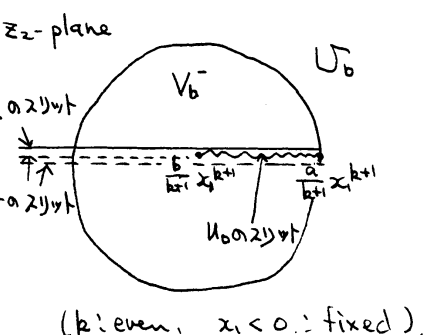
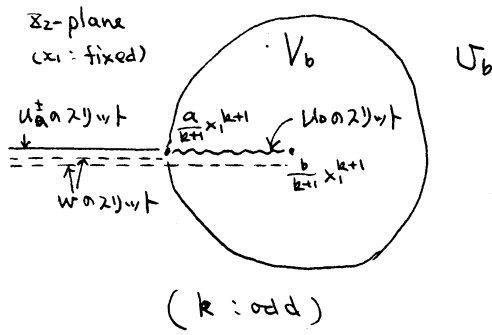
$$(3.16) \quad \left\{ \begin{array}{l} U_a^+ = \begin{cases} \left(1 + \frac{2}{A \cdot \Gamma(\gamma + \delta) \Gamma(1 - \gamma - \delta)}\right) U_a^- - \frac{2}{A \cdot \Gamma(1 - \gamma) \Gamma(1 - \gamma - \delta)} U_b^- & (k: \text{odd}) \\ \left(1 - \frac{1 + e^{\pi\delta i}}{B \cdot \Gamma(\gamma + \delta) \Gamma(1 - \gamma - \delta)}\right) U_a^- + \frac{1 + e^{\pi\delta i}}{B \cdot \Gamma(1 - \gamma) \Gamma(1 - \gamma - \delta)} U_b^- & (k: \text{even}) \end{cases} \\ U_b^+ = \begin{cases} \frac{2e^{\pi\delta i}}{A \cdot \Gamma(\gamma) \Gamma(\gamma + \delta)} U_a^- + \left(1 - \frac{2e^{\pi\delta i}}{A \cdot \Gamma(\gamma) \Gamma(1 - \gamma)}\right) U_b^- & (k: \text{odd}) \\ -\frac{1 + e^{\pi\delta i}}{B \cdot \Gamma(\gamma) \Gamma(\gamma + \delta)} U_a^- + \left(1 + \frac{1 + e^{\pi\delta i}}{B \cdot \Gamma(\gamma) \Gamma(1 - \gamma)}\right) U_b^- & (k: \text{even}) \end{cases} \end{array} \right.$$

が成り立つ。ここで、 $A = \frac{e^{\pi\delta i}}{\Gamma(\gamma) \Gamma(1 - \gamma)} - \frac{1}{\Gamma(\gamma + \delta) \Gamma(1 - \gamma - \delta)}$, $B = \frac{e^{\pi\delta i}}{\Gamma(\gamma + \delta) \Gamma(1 - \gamma - \delta)} - \frac{1}{\Gamma(\gamma) \Gamma(1 - \gamma)}$ おりた。A, B は γ の entire function で、 $z \in \mathbb{C}$ に対しても A, B $\neq 0$ は容易にわかる。
である。

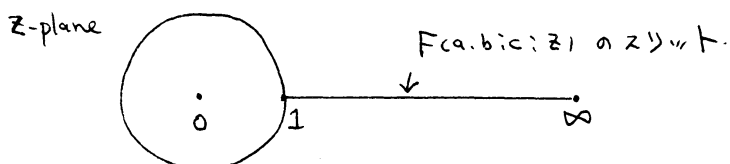
さて、

$$\left\{ \begin{array}{l} E_j(x) = -\frac{1}{2\pi i} (U_j(x_1, x_2 + i0) - U_j(x_1, x_2 - i0)) \quad (j=0,1) \\ E_s^\pm(x) = -\frac{1}{2\pi i} (U_s^\pm(x_1, x_2 + i0) - U_s^\pm(x_1, x_2 - i0)) \quad (s=a,b) \end{array} \right.$$

と定義すると、 E_j , E_s^\pm が (2.2), (2.3) を満たすことは容易にわかる。(複素領域での性質がその境界値である hyperfunction の性質を規定する。) 今に問する条件は、 $U_s^\pm(x_1, x_2)$ のスリットがどこにあるかを見てやればよい。 k が even で $x_1 < 0$ の



もは、図(右の)のように、スリットを半回転するこに注意する。これは、超幾何函数のスリットが、下図のように入る



ことから出る。(2.4) は E_j , E_s^\pm の $x_1 = 0$ での初期値を比較すれば、Holmgren の定理から出る。 C_{ij}^\pm も求まる。(2.6) は (3.16) から出る。 g_{ij} は具体的にはまとまつた。 g_{ij} が消えるかどうか見てやれば、(2.2) の結果は示される。尚、台の伝播に関する

同様のことが言えるわけだが、この事実を用いて、§4.2"定理を証明する。

§4. 定理の証明

まず"定理1.3を示す。定理1.5も全く同様である。(1.2)の仮定を満たすことを持つと $u_j(x_2) = D_i u|_{x_2=0}$ が"定義"されて、 $\text{supp } u_j \subset (-\infty, 0]$ が成り立つ。定理1.3の仮定から、実は $u_j(x_2) = 0$ near $x_2=0$ が出来ることを示せばよい。何とすれば、 Q は x_2 方向に双曲型で有限伝播速度を持つので、 u_0, u_1 の右は、 $(0, 0)$ の十分小さい近傍には伝播しないからである。

$\text{supp } u_j \neq 0$ を言うためには Green の公式を用いる。 Q の adjoint op. を Q^* とし、 F_j, F_s^\pm を、各々 $Q^*(x, D_1, -D_2) = (D - b x_1^k D_2)$ $\times (D_1 - \alpha x_1^k D_2) - c x_1^{k-1} D_2$ の Cauchy 問題の基本解系、"pure" な解とすると、この op. は、 $Q \approx a, b$ を、各々 $-b, -a$ に置きかえただけだから、 F_s^\pm に対して、§2 と全く同じ関係が成り立つ。 \leftarrow (すなはち $(a, b) \rightarrow (-b, -a)$ で不变性)

$$(4.1) \quad \begin{pmatrix} F_0 \\ F_1 \end{pmatrix} = \begin{pmatrix} C_{11}^\pm & C_{12}^\pm \\ C_{11}^\pm R(D_2) & C_{22}^\pm R(D_2) \end{pmatrix} \begin{pmatrix} F_{-b}^\pm \\ F_{-a}^\pm \end{pmatrix}$$

(C_{ij}^\pm は前出と同じもの) が成り立つ。

補題4.1 $\varepsilon > 0$ に対し、

$$(4.2) \quad -\frac{\delta(y_2)}{|C^\pm|} = \int E_b^\pm(\pm \varepsilon, x_2) \cdot (R(D_2) F_{-b}^\pm)(\pm \varepsilon, y_2 - x_2) dx_2 - \int (D_1 E_b^\pm)(\pm \varepsilon, x_2) \cdot (R(D_2) F_{-b}^\pm)(\pm \varepsilon, y_2 - x_2) dx_2$$

$$(4.3) \quad \frac{\delta(y_2)}{|C^\pm|} = \int E_a^\pm(\pm\varepsilon, x_2) \cdot (D_1 R(D_2) F_a^\pm)(\pm\varepsilon, y_2 - x_2) dx_2 \\ - \int (D_1 E_a^\pm)(\pm\varepsilon, x_2) \cdot (R(D_2) F_a^\pm)(\pm\varepsilon, y_2 - x_2) dx_2$$

(複号同順)。ここで $C^\pm = \det(C_{ij}^\pm) (\neq 0)$ とおいた。

証明 Greenの公式にあり、 $Qu=0$ を満たす u に対して、

$$0 = \iint Q(x, y) [u(x) Y(x_1) Y(\varepsilon - x_1)] \cdot F_j(x_1, y_2 - x_2) dx \\ = \delta_0^j \cdot u_1(y_2) - \delta_1^j \cdot u_0(y_2) \\ + \int u(\varepsilon, x_2) (D_1 F_j)(\varepsilon, y_2 - x_2) dx_2 - \int (D_1 u)(\varepsilon, x_2) F_j(\varepsilon, y_2 - x_2) dx_2$$

($j=0, 1$)。ここで $u_j(x_2) = D_i^j u|_{x_1=0}$ とおく。ここで $u = E_L$ ($i=0, 1$) とおいて計算すれば補題は示される。

(2.4) と (4.1) を用いて

系 4.2 $v \in \mathcal{B}(\mathbb{R})$, $\text{supp } v$ は上に有界とすると

$$-\frac{v(y_2)}{|C^\pm|} = \int [\int E_b^\pm(\pm\varepsilon, x_2 - t) v(t) dt] \cdot (D_1 R(D_2) F_b^\pm)(\pm\varepsilon, y_2 - x_2) dx_2, \\ - \int [(D_1 E_b^\pm)(\pm\varepsilon, x_2 - t) v(t) dt] \cdot (R(D_2) F_b^\pm)(\pm\varepsilon, y_2 - x_2) dx_2$$

定理 1.3 の証明 $x_1 = 0$ は Q に属して非特性的だから、(1.2)

の仮定を満たすには x_1 を実解析的 $\Rightarrow x - t$ にもとづく。 $x_1 = 0$

は制限である。ここで $u_j(x_2) \in D_i^j u|_{x_1=0}$ とおく。 $\text{supp } u_j \subset (-\infty, 0]$

であり、(2.5) より $\tilde{u}_a^+(y_2) = c_{11}^+ u_0(y_2) + c_{21}^+ R(D_2) u_1(y_2)$, $\tilde{u}_b^+(y_2) =$

$c_{12}^+ u_0(y_2) + c_{22}^+ R(D_2) u_1(y_2)$ とおくと、この形から $R(D_2)$ は台

を上方には増やさないから、 $\text{supp } \tilde{u}_s^+ \subset (-\infty, 0]$ ($s=a, b$)。か

ら $u(x)$ は

$$(4.4) \quad u(x) = \sum_{s=a, b} \int E_s^+(x_1, x_2 - y_2) \tilde{u}_s^+(y_2) dy_2$$

と書ける。 E_a^+ の性質から $x_1 > 0 \Rightarrow$, $\text{supp} [\int E_a^+(x_1, x_2 - y_2) \tilde{u}_a^+(y_2) dy_2]$
 $\subset \{x_2 \leq \frac{a}{k+1} x_1^{k+1}\}$ が、 $x_1 \geq 0 \Rightarrow$, $\text{supp} [\int E_b^+(x_1, x_2 - y_2) \tilde{u}_b^+(y_2) dy_2]$
 $\subset \{x_2 \leq f(x_1)\}$ 。一方、(4.2) から $\Sigma > 0$ に対し、

$$-\frac{\tilde{u}_b^+(y_2)}{|C|} = \int [\int E_b^+(\varepsilon, x_2 - t) \tilde{u}_b^+(t) dt] \cdot (R(R(D_2) F_{-b}^+)(\varepsilon, y_2 - x_2)) dx_2$$

$$-\int [\int (D_1 E_b^+)(\varepsilon, x_2 - t) \tilde{u}_b^+(t) dt] \cdot (R(D_2) F_{-b}^+)(\varepsilon, y_2 - x_2) dx_2$$

だが、 $\text{supp } F_{-b}^+(\varepsilon, y_2 - x_2) \subset \{y_2 - x_2 \leq -\frac{b}{k+1} \varepsilon^{k+1}\}$ が、convolution の性質を用いて、

$$\text{supp } \tilde{u}_b^+(y_2) \subset \{y_2 \leq f(\varepsilon) - \frac{b}{k+1} \varepsilon^{k+1} (< 0)\}$$

が出来る。故に、 $\tilde{u}_b^+(y_2) = 0$ near $y_2 = 0$ 。故に、 \tilde{u}_b^+ は u に $(0, 0)$ の近傍では影響しない。又 $R \in (2, 6)$ のとき、 $x_1 < 0$ では、

$$u(x) = \int E_a^-(x_1, x_2 - y_2) \{g_{11} \tilde{u}_a^+(y_2) + g_{21} \tilde{u}_b^+(y_2)\} dy_2$$

$$+ \int E_b^-(x_1, x_2 - y_2) \{g_{12} \tilde{u}_a^+(y_2) + g_{22} \tilde{u}_b^+(y_2)\} dy_2$$

である。 $(0, 0)$ の近くで考えれば、 \tilde{u}_b^+ を含む項は無視できることに注意する。 (3.16) より、 $g_{12} = -\frac{2}{A\Gamma(1-\gamma)\Gamma(1-\gamma\delta)}$ であり。

定理の仮定： $C \neq (b-a) \{(n+1)(k+1) - m\}$ ($n=0, 1, 2, \dots, m=0, 1$) は $g_{12} \neq 0$ と同値である。そこで、 $x_1 \geq 0$ のときと同様にして、
 $x_1 \leq 0$ の場合も

$$\text{supp} [\int E_a^-(x_1, x_2 - y_2) \tilde{u}_a^+(y_2) dy_2] \subset \{x_2 \leq \frac{a}{k+1} x_1^{k+1}\}$$

と仮定が5。

$$\text{supp} [\int E_b^-(x_1, x_2 - y_2) \tilde{u}_a^+(y_2) dy_2] \subset \{x_2 \leq f(x_1)\}$$

が $(0, 0)$ の十分近くで言え、(4.2) から、 $\varepsilon > 0$ (ε が十分小さい) に対し、

$$\text{supp } \tilde{u}_a^+(y_2) \subset \{ y_2 \leq f(-\varepsilon) - \frac{b}{k+1} \varepsilon^{k+1} (< 0) \}$$

故、 $\tilde{u}_a^+(y_2) = 0$ near $y_2 = 0$ が出来。 (4,4) の形から

$u(x) = 0$ near $(0,0)$ が従う。尚、 $= a$ とき $u_j(y_2) = 0$ near $y_2 = 0$ は明らかだろう。

定理1.4 の証明 $\frac{c}{b-a} = (n+1)(k+1) - 1$ ($n=0,1,2,\dots, m=0,1$)

のときは、 (3,4) が

$$\begin{aligned} u_0(z) &= W_a'^{-1} F(1, 1 - \frac{1}{k+1} - \frac{c}{(b-a)(k+1)}; \frac{k}{k+1}; \mathbb{Z}/W_a') \\ &= (z_2 - \frac{a}{k+1} z_1^{k+1})^{-1} F(1, -n; \frac{k}{k+1}; \frac{b-a}{k+1} z_1^{k+1} / (z_2 - \frac{a}{k+1} z_1^{k+1})) \\ &= \sum_{r=0}^m \frac{(-n)_r (1)_r}{(\frac{k}{k+1})_r r!} \left(\frac{b-a}{k+1} z_1^{k+1} \right)^r (z_2 - \frac{a}{k+1} z_1^{k+1})^{-r-1} \end{aligned}$$

と書ける。これは、 $u_0(z)$ が全空間 \mathbb{C}^2 で 1 値になる場合である。 $= a$ とき。

$$E_0(x) = \sum_{r=0}^m \frac{(-n)_r (-1)^r}{(\frac{k}{k+1})_r r!} \left(\frac{b-a}{k+1} x_1^{k+1} \right)^r \delta^{(r)}(x_2 - \frac{a}{k+1} x_1^{k+1}) \quad \text{IR}^{2,1}$$

となる。故に、 $u_0(y_2)$ として、 $(-\infty, 0]$ に値を持つと持つ \mathbb{C}^∞ 函数をとり。

$$\begin{aligned} u(x) &= \int E_0(x_1, x_2 - y_2) u_0(y_2) dy_2 \\ &= \sum_{r=0}^m \frac{(-n)_r}{(\frac{k}{k+1})_r r!} \left(\frac{b-a}{k+1} x_1^{k+1} \right)^r u^{(r)}(x_2 - \frac{a}{k+1} x_1^{k+1}) \end{aligned}$$

とおけば、 $= a$ のときは null solution である。尚、 $= a$ とき、

$$E_0(x) = \frac{e^{\pi \delta i}}{A \Gamma(n+1-\delta)} E_a^+(x), \quad E_a^+(x) = E_b^-(x),$$

で、要するに、基本解 E_0 が全空間 \mathbb{R}^2 で "pure" である。

$\frac{c}{b-a} = (n+1)(k+1)$ のときは、 (3,5) が "多項式" になり、上と同様に、 null solution が構成できる。 $= a$ とき、基本解 E_1

が全空間 \mathbb{R}^2 で "pure" になる。

定理 1.6 の証明も、定理 1.4 の証明とほとんど同様にでまる。

References

- [1] S. Alinhac : Branching of singularities for a class of hyperbolic operators. Indiana Univ. Math. J., 27, 1027-1037 (1978).
- [2] B. Birkeland and J. Petsson : The local Cauchy problem in \mathbb{R}^2 at a point where two characteristic curves have a common tangent. J. Diff. Eq., 30, 64-88 (1978),
- [3] Chi Min - You : On the Cauchy problem for a class of hyperbolic equations with data given on the degenerate parabolic line. Acta Math. Sinica, 8, 521-529 (1958).
- [4] T. Hamada : The singularities of the solutions of the Cauchy problem. Publ. R.I.M.S. Kyoto Univ., 5, 21-40 (1969).
- [5] N. Hanges : Parametrices and propagation of singularities for operators with non-involutive double characteristics. Indiana Univ. Math. J., 28, 87-97 (1979)
- [6] L. Hörmander : "Linear Partial Differential Operators". Springer, Berlin (1963).

- [7] 大井鉄郎：「特殊函数」。岩波全書 (1962)。
- [8] 相原一河合：单一特性的でない場合の浜田の定理について。
数理解析研究所講究録, 226, 105-113 (1975).
- [9] T. Kawai : Construction of local elementary solutions for linear partial differential equations with analytic coefficients (I).
Publ. R. I. M. S. Kyoto Univ., 7, 363-397 (1977).
- [10] S. Nakane : Propagation of singularities and uniqueness of the Cauchy problem at a class of doubly characteristic points.
東京大学修士論文 (1980).
- [11] M. Sato, T. Kawai and M. Kashiwara : Microfunctions and pseudo-differential equations. Lecture Notes in Math., 287, Springer, 265-529 (1973).
- [12] K. Taniguchi and Y. Tozaki : A hyperbolic equation with double characteristics which has a solution with branching singularities.
To appear.
- [13] F. Treves : Discrete phenomena in uniqueness in the Cauchy problem.
Proc. Amer. Math. Soc., 46, 229-233 (1974).
- [14] 浦部治一郎：ある種の線型2階方程式に対する浜田の定理について。東京大学修士論文 (1975).